

岐阜大学工学部 正会員 小柳 治  
 ノーマン 大郷 恵哲  
 オリエンタルコンクリート 中谷 哲男

### 1. まえがき

鉄筋コンクリートスラブの破壊機構については、その破壊挙動の複雑さのため、従来からの種々の検討にもかかわらず未だ十分な解明にはいたっておらず、スラブの押抜きせん断の破壊機構をもとにした耐力算定を行える段階にはいたってこない。本文は鉄筋コンクリートスラブのモデルとして小型モルタルスラブを用いて、押抜きせん断破壊を生ずるまでのいじわれの進展状況を求め、これによってスラブの押抜きせん断破壊の機構についてのひとつの推論と耐力算定との関係づけを試みたものである。

### 2. 実験概要

モルタルスラブ供試体に、終局耐力にいたる間の一一定限度の静的載荷を行っていじわれを生じさせた後に除荷し、それ迄に生じたいじわれを染料で着色した後再び載荷して押抜きせん断破壊を生じさせ、各荷重段階にいたる迄に生じたいじわれをトレースして、押抜きせん断破壊の進展状況を推定した。

供試体寸法は $55 \times 55 \times 5$  cmとし、鉄筋は直交方向に異形鉄筋 #6 ( $f_y = 42.2 \text{ kg/mm}^2$ ) を8 cm間隔に等間隔筋した。平均有効高さは3.8 cmであり、平均鉄筋比は1.0%となる。モルタルには早強ポルトランドセメントおよび長良川産砂(比重=2.59, F.M.=2.85)を使用した。モルタル配合はC:S:W=1.0:2.0:0.47とした。

載荷は柱間約4週で四辺単純支持(スパン50 cm)とし、60×60×31 mmの鋼板と厚さ3 mmの硬質ゴム板を介して中央部分集中載荷にて行なった。供試体に所定荷重までの載荷を行ったのち除荷し、裏面から黒色染料を注入していじわれの着色を行なった。染料には多環アロマ系混和剤(NL-500)およびロットリング用黒インキを使用した。注入した染料が乾燥したのち初載荷と同一方法で破壊にいたる迄の載荷を行なった。初回載荷の荷重段階  $P_r$  を供試体記号と共に表-1に示す。 $P_r$  は、当初から終局破壊にいたる迄の載荷を行なったF-1, F-2供試体の載荷時における計測されたところの、スラブ圧縮縁荷重面附近のいじわれが、荷重の増加につれて一定値となりさらに減少に向う現象を考慮して決定した。 $P_r$  のF-1およびF-2供試体の終局耐力  $V_u$  の平均値に対する比は、それぞれ95.79および63%である。なお圧縮面の載荷面近傍のいじわれと載荷重との関係の一例を図-1に示す。

F-3～F-5のスラブ供試体は、破壊後鉄筋を切断して最終の破壊面を求めると共に、押抜け部分の破壊したモルタル片を集め、その着色部分を観察して載荷途中の段階ごとのいじわれの進展状況を組み立てた。

表-1  $P_r$  および終局耐力

### 3. 実験結果および考察

スラブ載荷試験材今時のモルタルの圧縮強度および引張強度はそれぞれ $680 \text{ kg/cm}^2$  および $41.7 \text{ kg/cm}^2$  であった。

初回載荷時のスラブ中央長の変位と荷重との関係は図-2に示す

供試体	初回載荷重	終局耐力
記号	$P_r$ (ton)	$V_u$ (ton)
F-1	—	5.07
F-2	—	5.01
F-3 1/2	4.8	(5.02) (5.12)
F-4 1/2	4.0	(5.01) (5.10)
F-5 1/2	3.2	(5.05) (5.00)

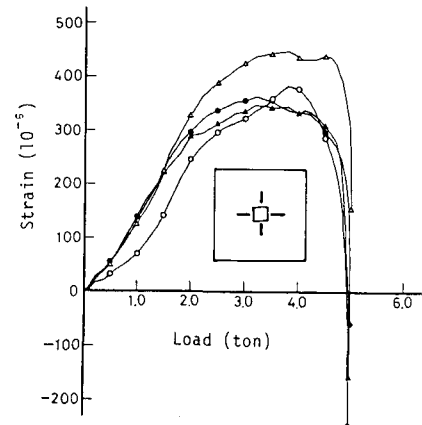


図-1 荷重-上面いじわれ関係

とうりであり、 $P_r$ まではほぼ同一である。染色した後の破壊荷重は表-1( )内に示すように、F-1, F-2とよく一致している。

いじわれの着色に用いた染料はNL-500の方が浸透性がより良好であると判断されたため、以後のいじわれ進展の論議についてこれによることとする。

図-3に $P_r$ まで載荷した後のスラブ下面の目視いじわれパターンを示す。 $P_r$ の増加につれていじわれの増大は顕著である。ここで中央部の太線部分は、スラブ破壊後の観察によっていじわれ深さが10mm以上となっていた部分を示す。

図-4は、スラブ破壊後の最終的な押抜きせん断破壊面を下面から見てスケッチしたものである。中央部分はスラブ上面の押し抜け面である。ここで黒色で示した目視による染料着色部を $P_r$ 時既存のいじわれ面とすると、着色部分は $P_r$ の増大につれて増加するものの最終的な押抜きせん断の破壊面には $P_r=0.95$ におけるほとんど表われてない。

図-5は押抜け部分の破片を総合して上面および側面からスケッチしたもので、染料による着色部分をハッチで示す。中央破線部分は載荷域を示す。側面からみた曲げに伴なういじわれは早期から大きく進展していくが、斜め方向のいじわれの進展は終局耐力に近い荷重において面積的にも限られて生じている。載荷直下には曲げいじわれで区分されるコーンが生ずるが、 $P_r=0.95$ の場合にはほどコーンの頂面にいたるまで着色された。

以上より、スラブの押抜きせん断において最終的に破壊を生ずる面は、最終耐力にいたる直前までに進展したいじわれがその一部を含みながら新たに従来からのいじわれ面の外側に形成されるものと推察される。またコーン形成後の耐力増加が僅少であるため、スラブの押抜きせん断破壊を応力流れの変化とコーンの形成と結びつけ機構的に耐力算定を考える方向があろう。なお破壊時には破面上が一様応力場とならないため、耐力算定には破壊域面積の拡大に伴う低減係数の導入が考えられる。

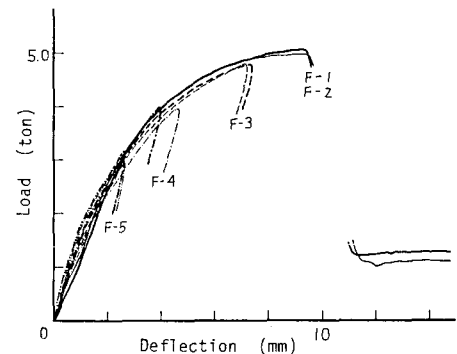


図-2 スラブの荷重-たわみ関係

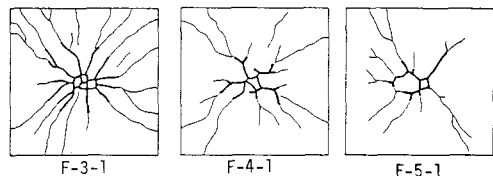


図-3 スラブ下面いじわれ状況

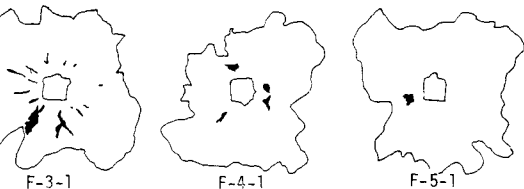


図-4 押抜き破壊面着色状況

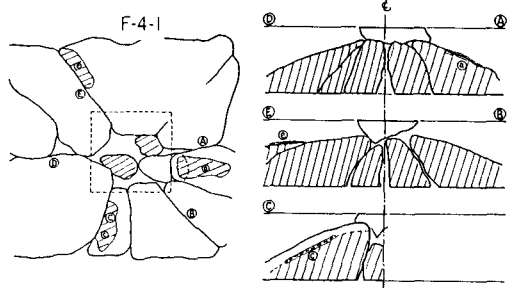
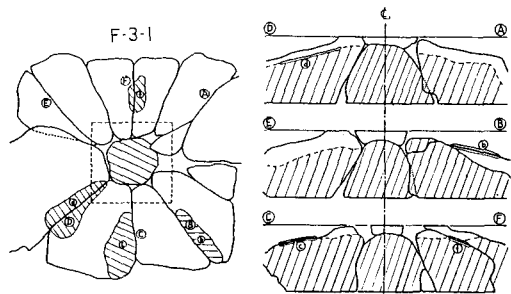


図-5 押抜け部分の平面図および断面図

